

『テキスト中の数値検索』

STN の一部のファイルでは物性の数値を検索できます

✍ テキスト中の数値検索とは

- タイトル、抄録、クレームなどのテキスト中に含まれる数値を検索することができます。
クレームに数値が記載されている例：日本公開特許 特開 2016-89150

【特許請求の範囲】
【請求項 1】
150℃におけるフィルムMD方向の10%伸張時応力が5MPa以上30MPa以下、
150℃におけるフィルムMD方向の熱収縮率が5%以下であり、かつフィルム表面の粗
さ曲線要素の平均長さRSmが20μm以上70μm以下である光学フィルム製造用ポリ
エステルフィルム。

物性の種類や単位を指定して
数値を検索できます

✍ STN で検索するメリット

- 目的の物性の数値のみを的確に検索できます。
例：温度 20℃ を検索したい場合、=> S 20C/TEMP
 - 単位が自動変換されます。
例：=> S 20C/TEMP の検索で 20℃, 293.15 K, 68°F がすべてヒットします。
 - 範囲で記載された数値もヒットします。
例：=> S 20C/TEMP の検索で 0-50℃, 10℃以上, 30℃以下などもヒットします。
 - 範囲を指定した検索も可能です。
例：=> S 20-50C/TEMP の検索で 20-50℃の範囲の温度がすべてヒットします。
 - テキスト中の数値検索は STN が開発した独自の機能です。
- 温度の数値検索専用のフィールド。
その他の物性はヒットしません

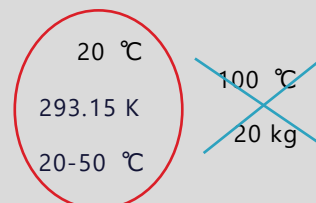
メリットまとめ

正確な数値の検索でも..
=> S 20C/TEMP

範囲指定検索でも..
=> S 20-50C/TEMP



条件を満たすレコードが
すべてヒット



検索方法

- 数値と数値検索フィールドを指定します。

=> S 数値 単位*/数値検索フィールド

例：圧力の数値を検索する場合 => S_10/PRES

- 数値検索フィールドのコードに .EX と付けて検索すると、特定の数値、または最大値と最小値が特定された数値範囲に限定して検索できます。

=> S 数値 単位*/数値検索フィールド.EX

* 単位を省略するとデフォルト単位の検索となります。

/PHP フィールド

- 数値を具体的に指定しなくても、目的の物性の数値データが記載されている文献をまとめて検索できます。

=> S 数値検索フィールド名/PHP

例：=> S_MFR/PHP で、質量流量 (MFR) の数値が記載されている文献をすべて検索

対象ファイル

- テキスト中の数値検索は下記のファイルで利用できます。バージョンによって検索フィールド数や検索機能が異なります。

Version 1	AUPATFULL, CANPATFULL, CNFULL, PCTFULL, 2MOBILITY
Version 2	AEROSPACE, AGRICOLA, CABA, COMPENDEX, ENCOMPAT/2, FSTA, INFULL, JPFULL, 1MOBILITY, METADEX, PQSciTech, TULSA/TULSA2, WPI
Version 3	DEFULL, FRFULL, GBFULL, KRFULL
Version 3.3	CEABA, RAPRA, TEMA, USPATFULL, USPAT2

Version 2 以降の主な特長

- アラビア数字だけでなくアルファベット表記 (one, two, three など) も検索できます。
- 単位がアルファベット表記でも検索できます。
例：meter per second, meter/second など
- 最小値や最大値のみで記載された数値範囲も検索できます。



数値検索フィールド

検索フィールド	物性名	デフォルト単位	Ver.1	Ver.2	Ver.3	Ver.3.3
/AOS	物質量	mol	○	○	○	○
/BIR	ビットレート	bit/s (Ver.1 は bit)	○	○	○	○
/BIT	保存情報	bit		○	○	○
/CAP	静電容量	F		○	○	○
/CATA	触媒活性	kat				○
/CDN	電流密度	A/m**2		○	○	○
/CMOL	モル濃度	mol/L	○	○	○	○
/CON	コンダクダンス	S	○	○	○	○
/DB	デシベル	db		○	○	○
/DEG	角度	degree	○	○	○	○
/DEN	密度, 質量濃度	kg/m**3	○	○	○	○
/DEQ	線量当量	Sv		○	○	○
/DOA	1日当たりの投与量	mg/kg/day				○
/DOS	投与量	mg/kg		○	○	○
/DV	動的粘度	Pa*s	○	○	○	○
/ECH	電荷	C		○	○	○
/ECD	電荷密度	C/m**2		○	○	
/ECO	電気伝導率	S/m		○	○	○
/ELC	電流	A		○	○	○
/ELF	電場	V/m		○	○	○
/ENE	エネルギー	J	○	○	○	○
/ERE	電気抵抗率	ohm*m		○	○	○
/FOR	力	N	○	○	○	○
/FRE	周波数	Hz	○	○	○	○
/IU	国際単位	IU		○	○	○
/KV	動粘度	m**2/s	○	○	○	○
/LEN (Ver.1 は /SIZ)	長さ	m	○	○	○	○
/LUME	照度	lx	○	○	○	○
/LUMF	光束	lm	○	○	○	○
/LUMI	光度	cd	○	○	○	○
/M	質量	kg	○	○	○	○
/MCH	質量電荷比	m/z		○	○	○
/MFD (Ver.1 は /MFS)	磁束密度	T	○	○	○	○
/MFR (Ver.1 は /MFL)	質量流量	kg/s	○	○	○	○
/MFST	磁界強度	a/m				○
/MM (Ver.1 は /MW)	モル質量, 分子量	g/mol	○	○	○	○
/MOLS	重量モル濃度	mol/kg		○	○	○
/MVR	メルトフローレート	g/10 min		○	○	○
/NUC	栄養素含量	g/100*kcal		○	○	
/PER	パーセント	%	○	○	○	○
/PERA	誘電率	F/m		○	○	
/PERR	比誘電率	-			○	
/PHV	水素イオン指数	ph	○	○	○	○
/POW	電力	W	○	○	○	○
/PPM	ppm	ppm			○	○

検索フィールド	物性名	デフォルト単位	Ver.1	Ver.2	Ver.3	Ver.3.3
/PRES	圧力	Pa	○	○	○	○
/RAD (注 1)	放射能	Bq	○	○	○	○
/RES	電気抵抗	Ohm	○	○	○	○
/RI	屈折率	-			○	○
/RSP	回転速度	rpm		○	○	○
/SAR	面積	m**2	○	○	○	○
/SOL	溶解度	g/100g		○	○	○
/SSA	比表面積	m**2/kg				○
/STSC	表面張力,ばね定数	J/m**2	*	○	○	○
/TCO	熱伝導率	W/m*K		○	○	○
/TEMP	温度	K	○	○	○	○
/TIM	時間	s	○	○	○	○
/VEL	速度	m/s	○	○	○	○
/VELA	角速度	rad/s (Ver.1 は rpm)	○	○	○	○
/VLR	体積流量	m**3/s		○	○	○
/VOL	体積	m**3	○	○	○	○
/VOLT	電圧	V	○	○	○	○
/WAC	水分活性	-			○	

* Ver.1 では表面張力 (/ST, デフォルト単位 : J/m**2), ばね定数 (/SCO, デフォルト単位 : N/m)
(注 1) USPATFULL, USPAT2 では /RADI

参考 : WPINDEX ファイルとは

- 世界中の**全技術分野**の特許情報を収録するデータベースです。
- テキスト中の数値検索の対象は**発明レベル**のタイトルと抄録,**公報レベル**のタイトル,抄録,クレーム。

WPINDEX ファイルのレコード
<p>発明レベル (Clarivate Analytics 作成)</p> <p>タイトル 抄録</p>
<p>公報レベル* (公報由来の情報)</p> <p>発明者タイトル 発明者抄録 クレーム</p>

発明レベルのキーワード検索は **/BI**

公報レベルのキーワード検索は **/BIEX**

* 公報レベルの収録内容は国や特許種別,年代によって異なる。

- キーワード検索を行う場合, **/BI** だけでなく **/BIEX** も必要によって追加します。
- WPINDEX ファイルの詳細 : https://www.jaici.or.jp/stn/pdf/text_pat2.pdf



検索例

スーパーキャパシタを用いた電池に関する特許のうち、静電容量の具体的な数値が記載されている特許を WPINDEX ファイルで検索します。



- WPINDEX ファイルのキーワード検索は /BI,BIEX
- 静電容量の数値が記載されているレコードをまとめて検索するには CAP/PHP

=> FILE WPINDEX

同一ターム中もしくは隣り合うターム中に限定

=> S ((DOUBLE? (1A) LAYER?) (2A) CAPACITOR OR EDLC OR SUPER? (1T) ?CAPACITOR? OR ULTRA? (1T) ?CAPACITOR?)/BI,BIEX

L1 39020 ((DOUBLE? (1A) LAYER?) (2A) CAPACITOR OR EDLC OR SUPER? (1T) ?CAPACITOR? OR ULTRA? (1T) ?CAPACITOR)/BI,BIEX

=> S (BATTERY OR ACCUMULATOR OR (ELECTRIC? OR SECOND?) (1W) CELL)/BI,BIEX

L2 1648982 (BATTERY OR ACCUMULATOR OR (ELECTRIC? OR SECOND?) (1W) CELL)/BI,BIEX

=> S L1 AND L2

L3 19469 L1 AND L2

=> S L3 AND CAP/PHP

← 静電容量の数値記載がある特許に限定

L4 277 L3 AND CAP/PHP

=> D L4 3 MAX MEMB

← 3 件目のレコードの全内容を表示

L4 ANSWER 3 OF 277 WPINDEX COPYRIGHT 2020 CLARIVATE ANALYTICS on STN

AN 2019-A8653C [2020003] WPINDEX [Full-text](#)

ED 20200110

TI Power supply and control circuit for braking sail of CubeSat, has control circuit connected to converter, and control circuit whose rear end is connected with on-board computer of Cubesat through RS422 bus

DC T01; W06; X16

IN CONG W; LI J; LIANG Z; LIU Y; ZHANG X

PA (UNSC-C) UNIV NANJING SCI & TECHNOLOGY

CYC 1

PI CN 110562488 A 20191213 (2020003)* ZH 17[8]

ADT CN 110562488 A CN 2019-10756138 20190816

PRAI CN 2019-10756138 20190816

IPC1 B64G0001-10 [I,A]; B64G0001-22 [I,A]; B64G0001-24 [I,A]; B64G0001-44 [I,A]; H02J0007-34 [I,A]; H02J0007-36 [I,A]

AB CN 110562488 A UPAB: 20200110

NOVELTY - The circuit has a power supply circuit provided an **ultra-capacitor** charging circuit, an **ultra-capacitor** module and a burning circuit. A front-end of the **ultra-capacitor** charging circuit is connected to a solar **battery** array of a Cubesat. The **ultra-capacitor** module is connected to a bus. A front-end bud of a 3.3V converter is connected to a burning circuit. A front-end bus of the burning circuit is connected to the bus. A control circuit is connected to the 3.3V converter. A rear end of the control circuit is connected with an on-board computer of the Cubesat through a RS422 bus.

USE - Power supply and control circuit for a braking sail of CubeSat.

ADVANTAGE - The circuit can deploy brake sail at a preset deployment time when the satellite fails to speed up satellite derailment process.

DESCRIPTION OF DRAWINGS - The drawing shows a front view of a power supply and control circuit.

FS EPI

MC EPI: T01-J07D1; W06-B03B; W06-B03F; X16-G02A

Clarivate Analytics 作成のタイトルと詳細な抄録

発明レベル ここまで



Member (0001)

PI CN 110562488 A 20191213 (2020003)* ZH 17[8]

TIEN Power supply and control circuit applied to brake sail of Cubesat

原標題

AG Patent Agency of Nanjing University of Science and Technology

AGA: CN

ZHANG, Xiang

AGA: CN

ABEN The invention claims a power supply and control circuit applied to brake sail of Cubesat, comprising a power supply circuit and a control circuit, wherein the front end of the power supply circuit is connected with a solar **battery** array provided separately for a brake sail by a Cubesat; a **super capacitor** charging circuit of the solar **battery** array is converted to a bus voltage to charge a **super capacitor** module; the

CLMEN [CLAIM 1] 1. A power supply and control circuit applied to braking sail of Cubesat, comprising a power supply circuit and a control circuit, wherein the power supply circuit comprises a **super capacitor** charging circuit, a **super capacitor** module, a 3.3V converter, a burning circuit; a front-end SIN of the **super capacitor** charging circuit is connected to a solar **battery** array of a Cubesat, a rear-end BUS outputs a bus voltage; the **super capacitor** module is connected to the bus; a front-end BUS of the 3.3V converter is connected to the bus, the rear-end

[CLAIM 4] 4. The power supply and control circuit applied to braking sail of Cubesat according to claim 1, wherein the **super capacitor** module comprises a second integrated chip U2, third integrated chip U3, a fourth resistor R4, a fifth resistor R5, 1 # pin of the sixth resistor R6, a seventh resistor R7, a fourth capacitor C4, a fifth capacitor C5, and the second integrated chip U2 are respectively connected with one end of the fifth resistor R5 and the fourth capacitor C4 of positive electrode, a bus input/output terminal BUS. the 3 # pin is connected with the other end of the fifth resistor R5, the 2 # pin is respectively connected with one end of the fourth resistor R4, the negative electrode of the fourth capacitor C4, positive electrode of the fifth capacitor C5, one end of the seventh resistor R7, the third integrated 1 # pin of chip U3 is connected, the other end of the 5 # pin and the fourth resistor R4 is connected with the other end of the third integrated chip U3 3 # pin is connected with the seventh resistor R7 is connected, the 2 # pin is respectively connected with the other end of the sixth resistor R6, the negative electrode of the fifth capacitor C5. GND is connected, connected to the other end of the 5 # pin and the sixth resistor R6, and the fourth capacitor C4, the fifth capacitor C5 is a **super capacitor**.

[CLAIM 5] 5. The power supply and control circuit applied to braking sail of Cubesat according to claim 4, wherein the size of the fourth capacitor C4 and the fifth capacitor C5 is **10F**, and the withstand voltage is 2.7V.

[CLAIM 6] 6. The power supply and control circuit applied to braking sail

静電容量の数値がクレームされています



検索例

WPINDEX ファイルで、リポソームに関する特許のうち、抄録の NOVELTY (新規性についての要約) パラグラフに、粒径が 100-110 nm の範囲であると記載されているものに限定します。



- /NOV で NOVELTY に限定したキーワード検索ができます。
- 粒径は長さの数値検索 (/LEN) で検索します。
- 特定の数値、最大値と最小値で記載された回答に限定するには /LEN.EX を利用します。

=> FILE WPINDEX

=> S (LIPOSOM? OR LIPID(W)VESICL?)/NOV

L1 6327 (LIPOSOM? OR LIPID(W)VESICL?)/NOV

(P) 演算子を用いて
同一パラグラフに限定

=> S L1 (P) 100-110NM/LEN

← /LEN で検索

L2 212 L1 (P) 100-110NM/LEN

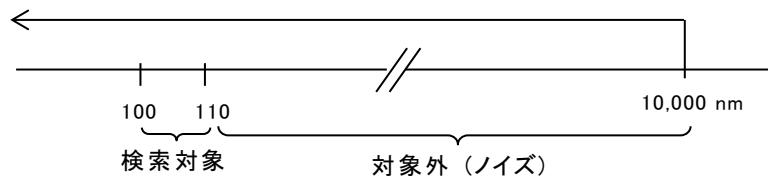
=> D L2 7 11 188 KWIC

← L2 のヒット部分を KWIC 表示形式で確認

L2 ANSWER 7 OF 212 WPINDEX COPYRIGHT 2020 CLARIVATE ANALYTICS on STN
 NOV . . . a disease such as allergy, autoimmune disease, infectious disease or cancer, or (2) at least one lipid-peptide conjugate and a liposome, where the lipid-peptide conjugate comprises a lipid moiety and a peptide moiety covalently conjugated by a linker, the linker comprises. . . such as an antigen i.e. associated with a disease such as allergy, autoimmune disease, infectious disease or cancer, and the liposome has a diameter of 50-900 nm.

L2 ANSWER 11 OF 212 WPINDEX COPYRIGHT 2020 CLARIVATE ANALYTICS on STN
 NOV NOVELTY - Production of marine extract aerosol liposome comprises atomizing the marine extract into aerosol liposome with an aerosol atomizer, where marine extract is extracted from cell membranes of marine processing streams, comprises phosphatidylserine (PS) (preferred), phosphatidylcholine (PC), phosphatidylethanolamine (PE), phosphatidylinositol (PI), and lysophosphatidylcholine (LysoPC). The aerosol liposome has a particle diameter of less than 10000 nm, and a surface of the aerosol liposome carries PS molecules.

/検索フィールド (L2) で検索した際に、最小値または最大値のみで記載された回答にノイズが多い場合は、/検索フィールド.EX (L3) を利用するとよい



L2 ANSWER 188 OF 212 WPINDEX COPYRIGHT 2020 CLARIVATE ANALYTICS on STN
 NOV . . . (which is changed to liquid form when sprayed on a user's skin and a slight pressure is applied), comprises a liposome (A) (containing cosmetic ingredient, solvent and liposome agent); and porous powders (B) having average particle size less than 1 micrometer, impregnated with emollient ingredient of jojoba oil within their pores.

単位の自動換算が行われているため、
入力した単位と異なる単位でもヒット

=> S L1(P) 100-110NM/LEN.EX ← /LEN.EX で検索
L3 157 L1(P) 100-110NM/LEN.EX

=> D L3 BIB AB 5 6 9 ← /LEN.EX でヒットした回答を BIB AB 表示形式で表示

L3 ANSWER 5 OF 157 WPINDEX COPYRIGHT 2020 CLARIVATE ANALYTICS on STN
AN 2019-98232P [201995] WPINDEX [Full-text](#)
TI Lipid carrier useful in pharmaceutical composition for treating cancer by stimulating or enhancing tumor antigen-specific immune response in human, comprises lipid-peptide conjugate comprising lipid moiety and peptide moiety

AB WO 2019222290 A1 UPAB: 20191213
NOVELTY - Lipid carrier comprises (1) at least one lipid-peptide conjugate comprising a lipid moiety and a peptide moiety covalently conjugated by a linker, where the lipid moiety is chosen from cholesterol, polyethylene glycol (PEG), PEGylated cholesterol, PEGylated phospholipid, and their combinations, where the peptide moiety is an epitope of a therapeutically relevant antigen, such as an antigen i.e. associated with a disease such as allergy, autoimmune disease, infectious disease or cancer, or (2) at least one lipid-peptide conjugate and a liposome, where the lipid-peptide conjugate comprises a lipid moiety and a peptide moiety covalently conjugated by a linker, the linker comprises a disulfide bond, the peptide moiety is an epitope of a therapeutically relevant antigen, such as an antigen i.e. associated with a disease such as allergy, autoimmune disease, infectious disease or cancer, and the liposome has a diameter of 50-900 nm.

DETAILED DESCRIPTION - INDEPENDENT CLAIMS are included for the following:

最大値と最小値が特定された数値範囲

L3 ANSWER 6 OF 157 WPINDEX COPYRIGHT 2020 CLARIVATE ANALYTICS on STN
AN 2019-93478T [201988] WPINDEX [Full-text](#)
CR 2015-60473Y; 2017-18622P; 2018-25983R
TI Treating antibiotic resistant infection of e.g. Pseudomonas aeruginosa and Francisella tularensis comprises aerosolizing formulation of free ciprofloxacin and ciprofloxacin encapsulated in liposomes and inhaling aerosol into patient's lungs

AB US 20190328731 A1 UPAB: 20191120
NOVELTY - Treating an antibiotic resistant infection in a patient, comprises: aerosolizing a formulation comprising free ciprofloxacin and ciprofloxacin encapsulated in liposomes; and inhaling the aerosol into the patient's lungs, where greater than or equal to 90% of the liposomes maintain structural integrity after being aerosolized and after contacting lung tissue provide a ciprofloxacin release rate of 0.5-10% per hour, the antibiotic resistant infection comprises microorganisms in a biofilm in the lung of the patient and the formulation releases drug over a period of time and at a rate effective in treating a biofilm infection, the formulation comprises a cryopreservative and a surfactant and the liposomes have an average particle size of 75-120 nm and are unilamellar.

L3 ANSWER 9 OF 157 WPINDEX COPYRIGHT 2020 CLARIVATE ANALYTICS on STN
AN 2019-77505M [201971] WPINDEX [Full-text](#)
TI METHOD FOR SYNTHESIS OF LIPOSOMAL FORM OF THYROXINE

AB RU 2697390 C1 UPAB: 20190920
NOVELTY - Invention refers to medicine, namely to its section of endocrinology, and to pharmacy, namely to creation of substances for medicinal preparations containing thyroid hormones. A method for synthesis of a liposomal form of thyroxine, including preparation and synthesis of a liposomal substance by extrusion through ultraporous membranes with size of 100 nm. At the stage of preparing the liposomal substance for producing multilamellar liposomes, e.g. lecithin, cholesterol,

特定の数値



検索例 ガラス転移温度 200 °C以下のポリアミドがクレームされている特許を WPINDEX ファイルで検索します。



- 温度の数値検索 (/TEMP) とガラス転移温度のキーワード検索を近接演算子で組み合わせ、ガラス転移温度を検索します。
- /CLM でクレームに限定したキーワード検索ができます。
- 数値検索と /CLM を近接演算子で組み合わせることにより、目的数値がクレームされている特許に限定します。

=> FILE WPINDEX

=> S (GLASS(1A) TRANSIT?(1A) (TEMP? OR POINT) OR TG)/CLM ← クレームのキーワード検索
L1 50130 (GLASS(1A) TRANSIT?(1A) (TEMP? OR POINT) OR TG)/CLM

=> S L1 (5A) 200C=>TEMP ← 温度 200 °C 以下の数値記載がある特許に限定
L2 12812 L1 (5A) 200C=>TEMP

=> D L2 310 12660 KWIC ← KWIC 表示形式でヒットタームの前後を確認

L2 ANSWER 310 OF 12812 WPINDEX COPYRIGHT 2020 CLARIVATE ANALYTICS on STN
Member
rod (1) comprises carbon fibre, 65-75 % of resin, 15 -20% of glass fibre,
8-15 % of DMA storage modulus **glass transition temperature Tg**
value is **130-250 degrees centigrade**.
[CLAIM 4] 4. according to claim 1 a woven **アルファベット表記の単位もヒット**
and carbon fibre composite core lead,

ガラス転移温度が
クレームされています

アルファベット表記の単位もヒット

L2 ANSWER 12660 OF 12812 WPINDEX COPYRIGHT 2020 CLARIVATE ANALYTICS on STN
Member
alignment layer, and coated with aluminium by vapour deposition to
provide the upper electrode (26). The LC layer exhibits a **glass**
transition point at **thirty degrees Celsius**.
An electric field is set up between the electrode
between them. Concurrently, irradiation is

アルファベット表記の数字もヒット

=> S (POLYAMIDE? OR POLY(W)AMIDE?)/CLM
L3 91803 (POLYAMIDE? OR POLY(W)AMIDE?)/CLM

=> S L2(P)L3 ← 同一クレーム中に限定
L4 347 L2(P)L3

=> D L4 5 KWIC

L4 ANSWER 5 OF 347 WPINDEX COPYRIGHT 2020 CLARIVATE ANALYTICS on STN
Member
units represented by P % of repeating units
represented by P
[CLAIM 3] The **polyamide** resin has a **glass transition temperature** of
130 to 150 ° C.
[CLAIM 4] The **polyamide** resin of claim 1, wherein the **polyamide** resin
having a **glass transition temperature** of **40 to 120 ° C**.
comprises at least one of an aliphatic **polyamide** resin, an amorphous
polyamide resin, and a semiaromatic polyamide resin including
aliphatic dicarboxylic acid units. **Polyamide** resin composition
characterized in that.

ポリアミドのガラス転移温度が
クレームされています